

МИНОБРНАУКИ РОССИИ

Федеральное государственное бюджетное образовательное учреждение  
высшего образования  
«САРАТОВСКИЙ НАЦИОНАЛЬНЫЙ ИССЛЕДОВАТЕЛЬСКИЙ  
ГОСУДАРСТВЕННЫЙ УНИВЕРСИТЕТ ИМЕНИ Н.Г. ЧЕРНЫШЕВСКОГО»

Кафедра математической физики и вычислительной математики

Задача рассеяния для дискретизаций системы Захарова - Шабата

название темы выпускной квалификационной работы полужирным шрифтом

АВТОРЕФЕРАТ БАКАЛАВРСКОЙ РАБОТЫ

Студента(ки) 4 курса 411 группы

направления 01.03.02 – Прикладная математика и информатика

код и наименование направления

механико-математического факультета

наименование факультета, института, колледжа

Нестеркина Станислава Владиславовича

фамилия, имя, отчество

Научный руководитель

доцент, к.ф.-м.н., доцент

должность, уч. степень, уч. звание

\_\_\_\_\_

дата, подпись

М.Ю.Игнатьев

инициалы, фамилия

Заведующий кафедрой

д.ф-м.н., профессор

должность, уч. степень, уч. звание

\_\_\_\_\_

дата, подпись

В.А. Юрко

инициалы, фамилия

Саратов, 2024 год

**Введение.** Система Захарова – Шабата представляет интерес прежде всего в контексте метода обратной задачи рассеяния, играя в схеме МОЗР для ряда нелинейных уравнений, в частности, нелинейного уравнения Шредингера, ту же роль, что классический оператор Штурма – Лиувилля играет в случае уравнения Кортевега – де Фриза. Аналогичную роль играют дискретизации системы Захарова – Шабата в теории дискретных интегрируемых систем.

**Актуальность работы.** Интерес к данному кругу вопросов не ослабевает с момента открытия МОЗР в 1967 году, а в последние годы нарастает в связи появлением новых приложений. К таковым можно отнести применения в области оптоволоконных линий связи, где МОЗР рассматривается как возможная основа построения алгоритмов компенсации искажений, возникающих вследствие совместного действия хроматической дисперсии и Керровской нелинейности, описываемого векторным аналогом нелинейного уравнения Шредингера. Поскольку применение МОЗР предполагает решение прямой и обратной задач рассеяния, разработка эффективных методов численного решения таких задач становится решающим элементом построения упомянутых алгоритмов. Наиболее эффективными здесь оказываются методы, которые фактически являются методами решения прямой и обратной задач рассеяния для дискретных аналогов системы Захарова – Шабата, таких, как система Абловица – Ладика.

**Цель работы:**

1. Рассмотреть теорию рассеяния для системы Абловица - Ладика
2. Рассмотреть прямые и обратные задачи рассеяния
3. Описать быстрые алгоритмы для прямой и обратной задачи рассеяния
4. Программно реализовать быстрые алгоритмы

**Основное содержание работы** Основная часть работы состоит из 3 глав. В **первой** главе мы рассматриваем теорию рассеяния для схемы Абло-вица - Ладика.

Для начала попросту дискретизируем

$$\begin{aligned}v_{1x} &= -i\zeta v_1 + qv_2 \\v_{2x} &= i\zeta v_2 + rv_1\end{aligned}\tag{1}$$

положив

$$(v_i)_x = \frac{v_{i,n+1} - v_{i,n}}{h}$$

Таким образом, (1) дает

$$\begin{aligned}v_{1,n+1} &= v_{1,n}(1 - i\zeta h) + q_n h v_{2,n} \\v_{2,n+1} &= v_{2,n}(1 + i\zeta h) + r_n h v_{1,n}\end{aligned}\tag{2}$$

где  $v_{l,n} = v_l(hn)$ ,  $q_n = q(hn)$ ,  $r_n = r(hn)$ . Если  $q_n$  и  $r_n$  были равны нулю, то естественно было бы определить  $z = e^{-i\xi h}$ ; при этом непрерывное решение естественно переходит в дискретное:  $v_1 = e^{-i\hbar x} = e^{-i\hbar n h} = z^n$  и аналогично  $v_2 = z^{-n}$ . Поэтому здесь мы возьмем  $z = e^{-i\xi h} \sim 1 - i\zeta h$ ,  $1/z = e^{2\xi h} \sim 1 + i\zeta h$ , и если определим  $Q_n = q_n h$ ,  $R_n = r_n h$ , то получим

$$\begin{aligned}v_{1,n+1} &= z v_{1,n} + Q_n v_{2,n} \\v_{2,n+1} &= \frac{1}{z} v_{2,n} + R_n v_{1,n}\end{aligned}\tag{3}$$

Имеется важное обобщение (3):

$$\begin{aligned}
v_{1,n+1} &= zv_{1,n} + Q_nv_{2,n} + S_nv_{2,n+1} \\
v_{2,n+1} &= \frac{1}{z}v_{2,n} + R_nv_{1,n} + T_nv_{1,n+1}
\end{aligned} \tag{4}$$

(Отметим, что непрерывный предел (4) также сводится к (1).)

Связанную с (3) или (4) эволюцию по времени мы представим в виде

$$\begin{aligned}
\frac{\partial}{\partial t}v_{1,n} &= A_nv_{1,n} + B_nv_{2,n} \\
\frac{\partial}{\partial t}v_{2,n} &= C_nv_{1,n} + D_nv_{2,n}
\end{aligned} \tag{5}$$

Опишем прямую задачу рассеяния, связанную с разностным  $2 \times 2$ -оператором Захарова - Шабата.

Мы будем изучать обратную задачу рассеяния, связанную с (4). Функции Йоста определяются следующим образом:

$n \rightarrow -\infty$  :

$$\varphi_n \sim \begin{pmatrix} 1 \\ 0 \end{pmatrix} z^n, \quad \bar{\varphi} \sim \begin{pmatrix} 0 \\ -1 \end{pmatrix} z^n \tag{10a}$$

$n \rightarrow \infty$  :

$$\psi_n \sim \begin{pmatrix} 0 \\ 1 \end{pmatrix} z^{-n}, \quad \bar{\psi}_n \sim \begin{pmatrix} 1 \\ 0 \end{pmatrix} z^n \tag{10b}$$

Можно показать, что для достаточно быстро убывающих при  $|n| \rightarrow \infty$  потенциалов  $Q_n, R_n$  функции

$$\begin{aligned}
\varphi_n z^{-n}, \quad \psi_n z^n &\text{ аналитичны при } |z| > 1, \\
\bar{\varphi}_n z^n, \quad \bar{\psi}_n z^{-n} &\text{ аналитичны при } |z| < 1
\end{aligned}$$

(т. е. вне и внутри единичного круга). Это легче всего показать, когда потенциалы имеют компактный носитель. В этом случае можно по индукции установить, что функции, аналитичные при  $|z| > 1$ , являются полиномами по  $1/z$ , а функции, аналитичные при  $|z| < \infty$ , - полиномами по  $z$ . Вронскиан

задается соотношением

$$W_n(\psi, \bar{\psi}) = \prod_{i=n}^{\infty} \frac{1}{1 - R_i Q_i} = \psi_{1n} \bar{\psi}_{2n} - \psi_{2n} \bar{\psi}_{1n}$$

Если  $R_i = -Q_i^*$ , то функция  $W_n$  положительно определена. В остальных случаях мы будем предполагать, что  $R_i$  и  $Q_i$  меньше единицы. Линейная зависимость  $\psi_n, \bar{\psi}_n$  приводит к

$$\varphi_n = a\bar{\psi}_n + b\psi_n \quad (11a)$$

$$\bar{\varphi}_n = -\bar{a}\psi_n + \bar{b}\bar{\psi}_n \quad (11b)$$

а соотношение Вронского даёт

$$\alpha\bar{a} + b\bar{b} = \prod_{-\infty}^{\infty} \left( \frac{1 - R_i Q_i}{1 - S_i T_i} \right) \quad (11c)$$

где  $a, \bar{a}, b, \bar{b}$  зависят от времени как от параметра. Мы покажем, что  $a\bar{a} + b\bar{b}$  не зависит от времени. Поэтому если  $\prod_{-\infty}^{\infty} ((1 - R_i Q_i) / (1 - S_i T_i))$  является ненулевой конечной величиной в начальный момент времени, то и вронскиан  $W_n$  является конечным и ненулевым. Разложениями (11) мы будем пользоваться при  $|z| = 1$ .

Теперь опишем обратную задачу рассеяния

Разделим (11a) на  $a$  (предполагая  $a(z) \neq 0$  при  $|z| = 1$ ):

$$\frac{\varphi_n}{a} = \bar{\psi}_n + \frac{b}{a}\psi_n \quad (11d)$$

и предположим существование следующих представлений (имеющих необходимые свойства аналитичности):

$$\begin{aligned}\psi_n &= \sum_{n'=n}^{\infty} K(n, n') z^{-n'} \\ \bar{\psi}_n &= \sum_{n'=n}^{\infty} \bar{K}(n, n') z^{n'}\end{aligned}\quad (12)$$

по аналогии

$$\psi = \begin{pmatrix} 0 \\ 1 \end{pmatrix} e^{i\xi x} + \int_x^{\infty} K(x, s) e^{i\xi s} ds$$

Подставив  $\psi_n, \bar{\psi}_n$  в (11с) и подействовав на (11с) оператором  $1/2\pi i \oint dz z^{-m-1}$  (контуром служит единичная окружность), получим

$$\begin{aligned}I &= \frac{1}{2\pi i} \oint \frac{\varphi_n}{a} z^{-m-1} dz = \sum_{n'=n}^{\infty} \bar{K}_n(n, n') \frac{1}{2\pi i} \oint z^{n'-m-1} dz + \sum_{n'=n}^{\infty} \bar{K}(n, n') \frac{1}{2\pi i} \oint \frac{b}{a}(z) \\ &\quad z^{-(m+n')-1} dz\end{aligned}$$

Заметив, что

$$\frac{1}{2\pi i} \oint z^{n'-m-1} dz = \delta(n', m)$$

( $\delta(n, m) = 1$  при  $n = m$  и 0 в остальных случаях;  $\delta(n, m)$  - это дельта-символ Кронекера) и определяя

$$F_c(m + n') \equiv \frac{1}{2\pi i} \oint \frac{b}{a}(z) z^{-(m+n')-1} dz \quad (13)$$

получим

$$I = \bar{K}(n, m) + \sum_{n'=n}^{\infty} K(n, n') F_c(m + n') \quad (14)$$

Теперь вычислим левую часть этого уравнения:

$$I = \frac{1}{2\pi i} \oint \frac{\varphi_n}{a} z^{-m-1} dz = \frac{1}{2\pi i} \oint \frac{\varphi_n z^{-n}}{a} z^{n-m-1} dz \quad (15)$$

Функции  $\varphi_n z^{-n}$  и  $a(z)$  являются аналитическими в области  $|z| > 1$ , поэтому единственные сингулярности - это точки, в которых  $a(z_j) = 0$ . Таким образом, при  $z \rightarrow \infty \varphi_n z^{-n}/a \rightarrow J_{\infty,n}$ . (Мы могли бы вычислять  $J_{\infty,n}$  переходом к пределу  $z \rightarrow \infty$  в (11с), но для дальнейшего эта формула не потребуется.) Предположив, что  $a$  имеет  $N$  простых нулей  $z_k$ , в которых  $\varphi_k = \tilde{c}_k \psi_k$ , получим

$$\begin{aligned} I &= - \sum_{j=1}^N \frac{\varphi_n(z_j)}{a'(z_j)} z_j^{-m-1} + J_{\infty,n} \delta(n, m) = \\ &= - \sum_{j=1}^N \frac{\tilde{c}_j}{a'(z_j)} \sum_{n'=n}^{\infty} K(n, n') z_j^{-(n'+m)-1} + J_{\infty,n} \delta(n, m) \end{aligned} \quad (16)$$

Определив  $F_D(m+n') \equiv \sum_{j=1}^N \tilde{c}_j z_j^{-(n'+m)-1}$ ,  $c_j = \bar{c}_j/a'_j$ , и воспользовавшись (15), (16), получим

$$\bar{K}(n, m) + \sum_{n'=n}^{\infty} K(n, n') F(m+n') = J_{\infty,n} \delta(n, m), \quad (17a)$$

где

$$\begin{aligned} F(m+n') &= F_c(m+n') + F_D(m+n') = \\ &= \frac{1}{2\pi i} \oint \frac{b}{a} z^{-(n'+m)-1} dz + \sum_{j=1}^N \tilde{c}_j z_j^{-(n'+m)-1} \end{aligned} \quad (17b)$$

Если мы проделаем то же самое с (11b), то получим

$$K(n, m) - \sum_{n'=n}^{\infty} \bar{K}(n, n') \bar{F}(m+n') = -J_{0,n} \delta(n, m) \quad (18a)$$

$$\bar{F}(m+n') = \frac{1}{2\pi i} \oint \frac{\bar{b}}{\bar{a}} z^{n'+m-1} dz - \sum_{j=1}^N \bar{c}_j \bar{z}_j^{n'+m-1} \quad (18b)$$

где

$$\bar{J}_{0,n} = \lim_{z \rightarrow 0} z^n \frac{\bar{\varphi}_n}{\bar{a}}$$

(как и раньше,  $J_{0,n}$  можно вычислить, но в этом нет необходимости).  
Соотношения (17) и (18) нам нужны только при  $m > n$ .

Во **второй** главе рассмотрим дискретные интегрируемые системы, связанные со схемой Абловица - Ладика.

*Дифференциально-разностный случай.* Уравнение (5) задает эволюцию по времени. Предположим, что при  $n \rightarrow \pm\infty$   $A_n \rightarrow A_{\pm}$ ,  $D_n \rightarrow D_{\pm}$ ,  $B_n, C_n \rightarrow 0$ . Собственные функции, удовлетворяющие одновременно (4) и (5), имеют вид

$$\begin{aligned} \varphi_n^{(t)} &= \varphi_n e^{A_- t}, & \psi_n^{(t)} &= \psi_n e^{D_+ t}, \\ \bar{\varphi}_n^{(t)} &= \bar{\varphi}_n e^{D_- t}, & \bar{\psi}_n^{(t)} &= \bar{\psi}_n e^{A_+ t} \end{aligned}$$

получим

$$\begin{aligned} a &= a_0 e^{(A_+ - A_-)t}, & b &= b_0 e^{(D_+ - A_-)t} \\ \bar{a} &= \bar{a}_0 e^{(D_+ - D_-)t}, & \bar{b} &= \bar{b}_0 e^{(A_+ - D_-)t} \end{aligned}$$

поэтому

$$\begin{aligned} \frac{b}{a}(t) &= \begin{pmatrix} b \\ a \end{pmatrix}_0 e^{(D_+ - A_+)t} \\ \frac{\bar{b}}{\bar{a}}(t) &= \begin{pmatrix} \bar{b} \\ \bar{a} \end{pmatrix}_0 e^{(A_+ - D_+)t} \end{aligned}$$

и аналогично

$$\begin{aligned} c_j &= c_{j,0} e^{(D_+ - A_+)(z_j)^t} \\ \bar{c}_j &= \bar{c}_{j,0} e^{(A_+ - D_+)(\bar{z}_j)^t} \end{aligned}$$

Дисперсионное соотношение линеаризованной задачи имеет вид

$$-i\omega(z^2) = (A_+ - D_+)(z)$$

*Конечно-разностный случай.* Мы опять предположим, что  $A_n^m \rightarrow A_{\pm}$ ,



$D_n^m \rightarrow D_\pm, B_n^m \rightarrow 0, C_n^m \rightarrow 0$  при  $n \rightarrow \pm\infty$ . Собственные функции, одновременно удовлетворяющие уравнением (4), задаются соотношениями

$$\begin{aligned}\Phi_n^{m(t)} &= \Phi_n^m (1 + A_-)^m, & \Psi_n^{m(t)} &= \Psi_n^m (1 + D_+)^m \\ \bar{\varphi}_n^{m(t)} &= \bar{\varphi}_n^m (1 + D_-)^m, & \bar{\Psi}_n^{m(t)} &= \bar{\Psi}_n^m (1 + A_+)^m\end{aligned}$$

Как и прежде, можно получить

$$\begin{aligned}a &= a_0 \left( \frac{1+A_+}{1+A_-} \right)^m, & \bar{a} &= \bar{a}_0 \left( \frac{1+D_+}{1+D_-} \right)^m \\ b &= b_0 \left( \frac{1+D_+}{1+A_-} \right)^m, & \bar{b} &= \bar{b}_0 \left( \frac{1+A_+}{1+D_-} \right)^m \\ \frac{b}{a} &= \left( \frac{b}{a} \right)_0 \left( \frac{1+D_+}{1+A_+} \right)^m, & \frac{\bar{b}}{\bar{a}} &= \left( \frac{\bar{b}}{\bar{a}} \right)_0 \left( \frac{1+A_+}{1+D_+} \right)^m\end{aligned}$$

и

$$c_i = c_{j,0} \left( \frac{1+D_+}{1+A_+} \right)^m (z_j), \quad \bar{c}_j = \bar{c}_{j,0} \left( \frac{1+A_+}{1+D_+} \right)^m (\bar{z}_j)$$

Здесь  $a_0, \dots, \bar{c}_{j,0}$  отвечают данным рассеяния при  $m = 0$ . Дисперсионное соотношение линеаризованного уравнения ( $Q_n^m = z^n \omega^m$ ) имеет вид

$$\omega(z^2) = \frac{1+A_+}{1+D_+}$$

Схема построения решений дифференциально-разностных и конечно-разностных уравнений описана полностью.

В **третьей** главе - практическая часть работы. Она заключается в написании быстрого алгоритма решения задачи на собственные значения и обратной задачи рассеяния.

Рассмотрим задачу Захарова-Шабата на собственные значения:

$$\frac{dv_1}{dx} = -i\zeta v_1 + qv_2, \tag{27a}$$

$$\frac{dv_2}{dx} = i\zeta v_2 + r v_1 \quad (27b)$$

Прежде всего мы предположим, что  $q$  и  $r$  достаточно быстро стремятся к нулю при  $|x| \rightarrow \infty$ . Отметим, что это предположение очень важно, поскольку теория рассеяния с другими граничными условиями приводит к совершенно другим результатам. Быстрое убывание позволяет определить собственные функции  $\varphi, \bar{\varphi}, \psi, \bar{\psi}$  со следующими граничными условиями при  $\zeta = \xi (\zeta = \xi + i\eta$  - собственное значение):

$$\left. \begin{array}{l} \psi \sim \begin{pmatrix} 1 \\ 0 \end{pmatrix} e^{i\xi x} \\ \bar{\psi} \sim \begin{pmatrix} 0 \\ -1 \end{pmatrix} e^{-i\xi x} \end{array} \right\} \text{при } x \rightarrow -\infty \quad (28a)$$

$$\left. \begin{array}{l} \psi \sim \begin{pmatrix} 0 \\ 1 \end{pmatrix} e^{i\xi x} \\ \bar{\psi} \sim \begin{pmatrix} 1 \\ 0 \end{pmatrix} e^{-i\xi x} \end{array} \right\} \text{при } x \rightarrow +\infty \quad (28b)$$

Отметим, что  $\bar{\varphi}$  не является комплексным сопряжением  $\varphi$ , будем пользоваться обозначением  $\varphi^*$  для комплексного сопряжения. Это решение определено в фиксированный момент времени (скажем, при  $t = 0$ ), и вся развиваемая в этом разделе теория рассеяния (прямая и обратная) относится к этому фиксированному моменту времени. Далее в этом разделе мы будем опускать временную зависимость в обозначениях. Теперь, если  $u(x, \xi)$  - это  $2 \times 1$  вектор-столбец с компонентами  $u_i(x, \xi), i = 1, 2$  и  $v(x, \zeta)$  являются решениями (27), мы имеем

$$\frac{d}{dx} W(u, v) = 0 \quad (29)$$

где  $W(u, v)$  — вронскиан  $u$  и  $v$  :

$$W(u, v) = u_1 v_2 - v_1 u_2 \quad (30)$$

Из (28) мы видим, что  $W(\varphi, \bar{\varphi}) = -1$  и  $W(\psi, \bar{\psi}) = 1$ . Решения  $\psi, \bar{\psi}$  являются линейно независимыми; таким образом, мы можем написать

$$\varphi = a(\xi)\bar{\psi} + b(\xi)\psi \quad (31a)$$

$$\bar{\varphi} = -\bar{a}(\xi)\psi + \bar{b}(\xi)\bar{\psi} \quad (31b)$$

(Знак минус здесь выбран для удобства.) Мы также отметим, что матрица рассеяния определяется обычно следующим образом:

$$S = \begin{pmatrix} a & b \\ \bar{b} & -\bar{a} \end{pmatrix} \quad (32)$$

Используя (31) (32) и  $W(\varphi, \bar{\varphi}) = -1$ , мы получим

$$a(\xi)\bar{a}(\xi) + b(\xi)\bar{b}(\xi) = 1 \quad (33)$$

Далее мы установим аналитические свойства данных рассеяния (как функций комплексной переменной  $\zeta$ ).

**Теорема 1.** Если  $q, r \in L_1$  (являются абсолютно интегрируемыми), то функции  $e^{i\zeta x}\varphi, e^{-i\zeta x}\psi$  являются аналитическими в верхней полуплоскости ( $\eta > 0$ ),  $a e^{-i\zeta x}\bar{\varphi}, e^{i\zeta x}\bar{\psi}$  — аналитическими в нижней полуплоскости ( $\eta < 0$ )

Рассмотрим прямую задачу рассеяния, для которой изложим схему Абловица–Ладики аппроксимации системы уравнений Захарова–Шабата.

Считаем, что  $t_1 = 0, t_2 = L$ . Тогда условие на вектор  $v$  при  $t = 0$  принимает вид

$$v|_{t=0} = \begin{pmatrix} 1 \\ 0 \end{pmatrix}$$

Аппроксимируем дифференциальные уравнения системы Захарова-Шабата разностной схемой Эйлера

$$\frac{v_1^{n+1} - v_1^n}{h} = -ikv_1^n + q_n v_2^n, \quad (58a)$$

$$\frac{v_2^{n+1} - v_2^n}{h} = ikv_2^n - q_n^* v_1^n, \quad (58b)$$

где  $q_n^*$  обозначает комплексное сопряжение  $q_n$ . Запишем систему (58) в виде

$$\begin{pmatrix} v_1^{n+1} \\ v_2^{n+1} \end{pmatrix} = \begin{pmatrix} 1 - ikh & q_n h \\ -q_n^* h & 1 + ikh \end{pmatrix} \begin{pmatrix} v_1^n \\ v_2^n \end{pmatrix} \quad (59)$$

В схеме Абловица-Ладика величину  $1 \pm ikh$  заменяют на  $e^{\pm ikh}$ . Переобозначим  $q_n h$  за  $q_n$ . В результате схема (59) приобретает вид

$$\begin{pmatrix} v_1^{n+1} \\ v_2^{n+1} \end{pmatrix} = \begin{pmatrix} z^{-1} & q_n \\ -q_n^* & z \end{pmatrix} \begin{pmatrix} v_1^n \\ v_2^n \end{pmatrix}, \quad \vec{v}^0 = \begin{pmatrix} 1 \\ 0 \end{pmatrix},$$

После замены переменных

$$v_1^n = z^{-n} P_1^n, \quad v_2^n = z^{-n-1} P_2^n$$

получим

$$\vec{P}^N = M_n \dots M_1 \vec{P}^0 = M \vec{P}^0$$

где

$$M = M_n \dots M_1$$

Полиномы  $P_1^N(k), P_2^N(k)$  определяют функции  $v_1^N(k), v_2^N(k)$  и, следовательно, данные рассеяния  $a(k), b(k)$ . Таким образом, основная задача заключается в быстром вычислении  $\vec{P}^N$ .

**Предложение 1.** Коэффициенты матрицы полиномов

$$M = M_N M_{N-1} \dots M_1$$

могут быть вычислены "сверхбыстрым" образом, т.е. за  $O(N \log_2^2 N)$  операций.

Метод сверхбыстрого вычисления произведения матриц  $M_N M_{N-1} \dots M_1$  основан на технике "разделяй и властвуй" и быстром умножении полиномов.

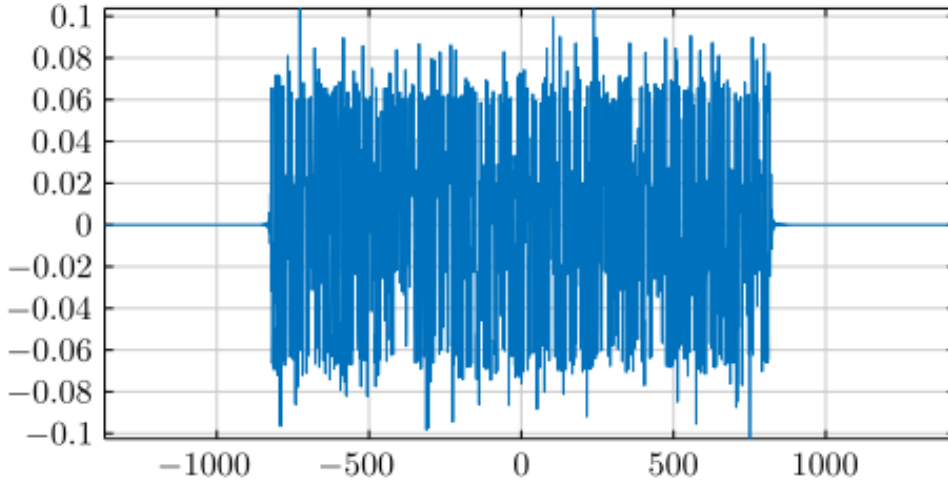
Напомним, что при решении нелинейного уравнения Шредингера методом обратной задачи рассеяния, требуется решить задачу на собственные значения для системы уравнений Захарова-Шабата

$$\begin{aligned} \frac{dv_1}{dt} + ikv_1 &= iq_0(t)v_2, \\ \frac{dv_2}{dt} - ikv_2 &= -iq_0^*(t)v_1, \end{aligned}$$

с граничным условием

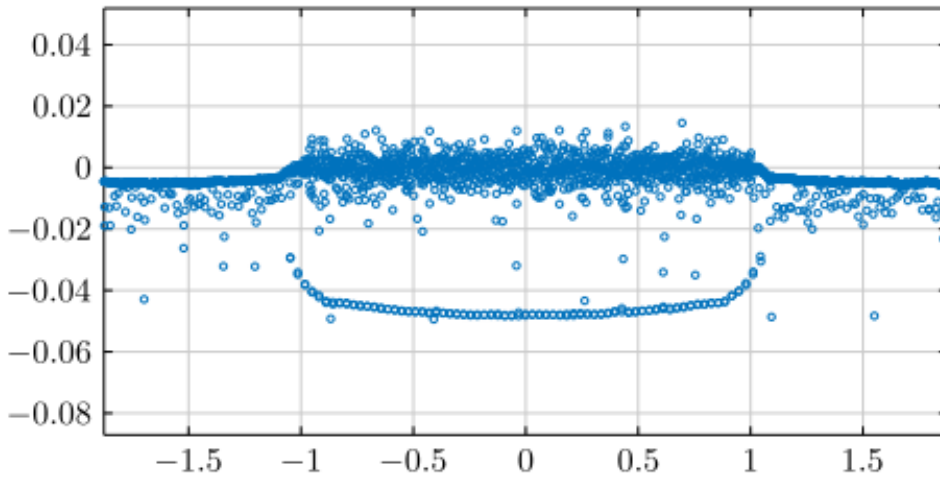
$$\vec{v} = \begin{pmatrix} v_1 \\ v_2 \end{pmatrix} \in L_2(\mathbb{R}^1)$$

Пример вещественной части потенциала  $q_0(t)$ , возникающего в технике связи в качестве начальных данных для нелинейного уравнения Шредингера, приведен на рис. 1. Распределение собственных значений и резонансов спектральной задачи для системы Захарова-Шабата в комплексной плоскости показано на рис. 2.



.png

Рис. 1: Вещественная часть потенциала  $q_0(t)$  системы Захарова-Шабата.



.png

Рис. 2: Распределение собственных значений и резонансов.

Рассмотрим Layer Peeling метод для решения обратной задачи рассеяния.

*Замечание 1.* Если для финитного потенциала известны коэффициенты рассеяния  $a(k), b(k)$ , то известен вектор  $\vec{v}(k, t)$ , разложение которого в ряд Фурье определяет полином  $\vec{P}(z)$ . Коэффициенты  $a(k), b(k)$  в приближении задачи Абловица-Ладика с точностью до фазового сдвига равняются первому столбцу матрицы  $M$ .

**предложение 2.** Вычисление значений  $q_n, n = 1, \dots, N$ , требует  $O(N \log_2^2 N)$  действий.

*Замечание 2.* Для решения дискретной обратной задачи рассеяния для системы уравнений Абловица-Ладика в точной арифметике не требуется никакой информации о дискретном спектре какой бы то ни было задачи, связанной с исходной задачей для дифференциальной системы уравнений Захарова-Шабата.

**Предложение 3.** Для последовательного применения преобразования Дарбу при присоединении решений солитонного типа, отвечающих собственным значениям, необходимо  $O(m^2 N)$  операций.

*Замечание 3.* Точное решение эволюционной задачи  $q$  не требуется. Необходимо найти его приближение  $q_{\text{apr}}$ , от которого требуется только, чтобы

$$\|q_{\text{apr}} - q\| < \varepsilon$$

Layer Peeling метод является наиболее быстрым из применяемых в настоящее время алгоритмов решения обратной задачи рассеяния. В то же время его устойчивость остается серьезной проблемой. Рост  $L_2$  нормы начальных данных увеличивает количество возникающих солитонов. Необходимость учета все большего количества солитонов ограничивает возможности практического применения метода.

**Заключение.** В работе рассмотрены прямая и обратная задачи рассеяния для дискретизаций системы Захарова – Шабата, основное внимание уделено системе Абловица – Ладика. Показано, что для рассмотренных дискретных систем прямая и обратная задачи рассеяния допускают эффективное решение. В частности, для решения обратной задачи могут быть использованы как дискретные аналоги уравнений Гельфанда - Левитана - Марченко, так и специфический метод Layer Peeling, не имеющий непосредственного аналога в непрерывном случае. В работе показано также, что методы теории рассеяния для дискретных систем могут быть использованы для построения эффективных методов численного решения прямой и обратной задач рассеяния для системы Захарова – Шабата.